

۱۲ / ۷ / ۴۳۷۸



دانشگاه علم و صنعت ایران

دانشکده برق

طراحی، ساخت و شبیه‌سازی کنترل سرعت

موتور الکتری سه فاز به روش VVF

دانشجو: رضا محمدیان نمینی

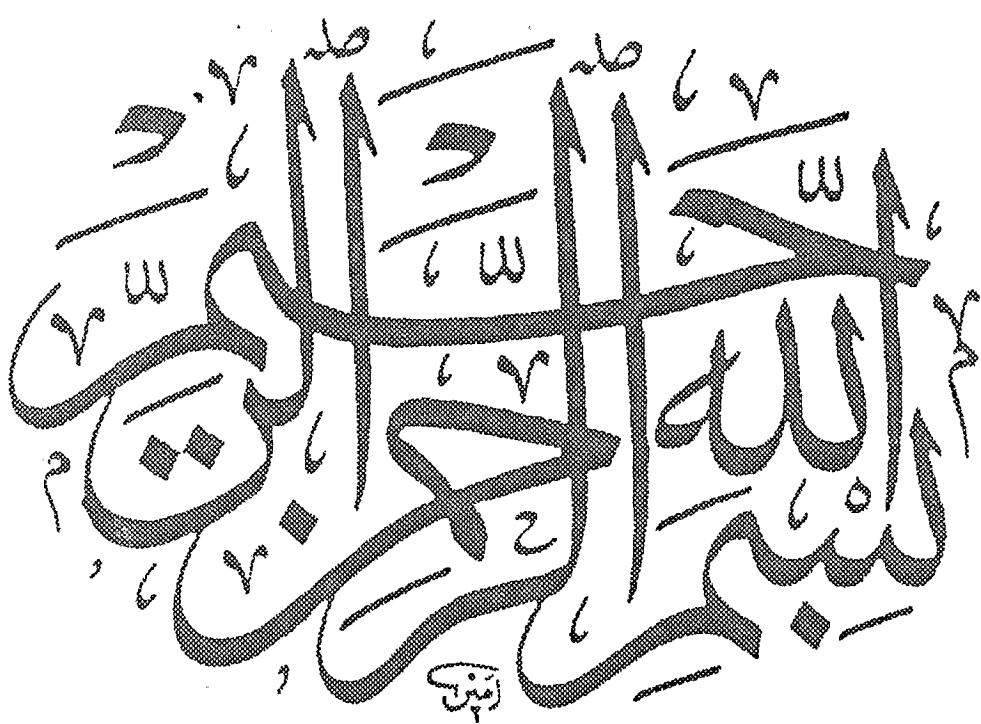
پایان نامه برای دریافت درجه کارشناسی ارشد

در رشته مهندسی برق قدرت

۳۹۹۱۵

استاد راهنما: دکتر محمدعلی شرکت معصوم

الستاد ۱۳۷۷



لِكَفَلَهُ لَهُ بَعْدَ وَ مَادَرَ لَنْزَرَ كَلْمَانَ

چکیده:

پروژه حاضر طراحی، ساخت و شبیه‌سازی یک کنترل کننده حلقه باز سرعت موتور القایی می‌باشد که به روش VVVF انجام پذیرفته است.

در این روش، سیستم بگونه‌ای عمل می‌کند که بتوان از حداکثر ظرفیت گشتاور موتور استفاده نمود.

بطورکلی سخت‌افزار سیستم شامل یک اینورتر ولتاژ و یک مدار فرمان جهت کنترل اینورتر می‌باشد.

قسمت شبیه‌سازی نیز با استفاده از نرم‌افزار مطلب انجام پذیرفته که خود شامل شبیه‌سازی اینورتر و شبیه‌سازی موتور القایی است.

در پایان نیز نتایج شبیه‌سازی و آزمایشگاهی در کنارهم گذاشته شده و باهم مقایسه شده‌اند.

1- Variable Voltage Variable Frequency. *Mohsen*

روش پستا لرن تئور ولتاژ متغیر

فهرست مطالب

.....	چکیده
.....	مقدمه
۱	فصل اول: روش‌های کنترل سرعت موتور القایی
۱	۱) کنترل سرعت با منبع ولتاژ متغیر و فرکانس ثابت
۳	۲-۱) کنترل سرعت با تغییر فرکانس
۵	۱-۲-۱) عملکرد موتور در فرکانس‌های کمتر از فرکانس نامی
۱۲	۱-۲-۲) بهره‌برداری در فرکانس بالاتر از فرکانس نامی
۱۳	۳-۲-۱) ظرفیت گشتاور و قدرت
۱۶	۴-۲-۱) کنترل و مزایای آن
۱۸	۳-۱) کنترل مقاومت رتور
۱۹	۴-۱) تزریق ولتاژ در مدار رتور
۲۵	۱-۴-۱) حالت موتوری زیر سنکرون ($0 \leq S \leq 1$)
۲۶	۲-۴-۱) حالت موتوری فوق سنکرون ($S < 0$)
۲۶	۳-۴-۱) ترمیزی زیر سنکرون ($0 \leq S \leq 1$)
۲۷	۴-۴-۱) ترمیزی فوق سنکرون ($S < 0$)
۲۹	۵-۱) کنترل سرعت از طریق بازیافت انرژی لغزش رتور
۳۱	۶-۱) تغییر قطبها

۳۲	۷-۱) کنترل برداری
۳۵	فصل دوم: کار با یک منبع جریان
۳۵	۱-۲) کار در فرکانس ثابت
۴۱	۲-۲) کار با منبع فرکانس متغیر
۴۱	۱-۲-۲) عملکرد در زیر فرکانس نامی و در فرکانس نامی
۴۴	۲-۲-۲) عملکرد در فرکانسهای بالاتر از فرکانس نامی
۴۶	فصل سوم: بررسی تلفات و گشتاور موتور القایی
۴۶	۱-۳) حداقل نمودن تلفات
۴۶	۱-۱-۳) کار با ولتاژ متغیر و فرکانس ثابت
۵۰	۲-۱-۳) کار با منبع فرکانس متغیر
۵۵	۲-۳) کار موتور القایی با منابع غیرسینوسی
۵۵	۱-۲-۳) هارمونیکهای توالی مشبی و منفی
۵۶	۲-۲-۳) مدار معادل هارمونیکی
۵۹	۳-۲-۳) راندمان
۶۱	۴-۲-۳) ضربانهای گشتاور
۶۴	فصل چهارم: تشریح کنترل موتور القایی با کنترل کننده‌های ولتاژ AC
۶۴	۱-۴) مدارهای کنترل کننده ولتاژ AC
۶۵	۴-۱-۴) کنترل کننده نیم موج سه فاز

۶۶.....	۲-۱-۴) کنترل کننده تمام موج سه فاز.....
۶۸.....	۳-۱-۴) کنترل کننده دو جهتی سه فاز با اتصال مثلث.....
۷۶.....	۲-۴) کنترل چهار ناحیه‌ای و بررسی سیستم‌های حلقه بسته.....
۷۲.....	۱-۲-۴) محرکه‌های بارهای پنکه و پمپها.....
۷۵.....	فصل پنجم: محرکه‌های موتور القایی جهت کنترل فرکانس.....
۷۶.....	۱-۵) اینورتر منبع ولتاژ سه فاز.....
۷۸.....	۱-۱-۵) اینور شش پله.....
۷۹.....	کنترل ولتاژ dc ورودی.....
۸۰.....	کنترل ولتاژ خروجی با استفاده از چند اینورتر.....
۸۱.....	۲-۱-۵) اینورتر مدولاسیون پهنهای پالس (PWM).....
۸۲.....	کنترل ولتاژ مؤثر خروجی اینور PWM.....
۸۳.....	مدولاسیون مفرد عرض پالس.....
۸۵.....	مدولاسیون چندتایی عرض پالس.....
۸۷.....	مدولاسیون سینوسی عرض پالس (SPWM).....
۹۶.....	۳-۱-۵) سیستم‌های کنترل دور موتور القایی با استفاده از اینورتر منبع ولتاژ.....
۱۰۰.....	۲-۵) اینورتر منبع جریان.....
۱۰۳.....	۱-۲-۵) منابع جریان.....
۱۰۵.....	۲-۲-۵) سیستم‌های کنترل دور موتور القایی با استفاده از اینورتر منبع جریان ..

۱۰۸	فصل ششم: سخت افزار و نرم افزار سیستم
۱۰۸	۶-۱) مدار فرمان
۱۰۸	۶-۱-۱) بررسی میکرو کنترلر خانواده (MCS-51)
۱۱۱	۶-۱-۲) نمایشگر چهار رقمی
۱۱۳	۶-۱-۳) تغذیه مدار
۱۱۴	۶-۲) مدار قدرت
۱۱۴	۶-۲-۱) اینورتر سه فاز و المانهای قدرت
۱۱۸	۶-۲-۲) مدارهای راه انداز المانهای قدرت
۱۲۰	۶-۲-۳) تغذیه مدار راه انداز
۱۲۱	نرم افزار سیستم
۱۲۱	۶-۳) منطق و اصول کلی نرم افزار
۱۲۲	۶-۳-۱) قسمتهای اصلی نرم افزار
۱۲۳	قسمت مقداردهی اولیه
۱۲۳	حلقه اصلی
۱۲۴	روال تایمیر صفر
۱۲۴	جداول PWM
۱۲۵	فصل هفتم: شبیه سازی و مقایسه آن با نتایج آزمایشگاهی
۱۲۵	۷-۱) شبیه سازی اینورتر سه فاز PWM
۱۴۴	۷-۲) شبیه سازی موتور القایی تحت تأثیر اینورتر سه فاز PWM

۱۵۲	نتیجه‌گیری
۱۵۳	پیشنهاد جهت ادامه پژوهش
۱۵۴	فهرست مراجع و مقالات
	ضمیمه

فهرست اشکال

صفحه	عنوان
	فصل اول
۳	شکل (۱-۱) : کنترل سرعت با تغییر ولتاژ تغذیه a_C
۵	شکل (۲-۱) : مدار معادل یک فاز موتور القایی
۸	شکل (۳-۱) : منحنی های سرعت گشتاور با روش کنترل فرکانس
۱۳	شکل (۴-۱) : منحنی های سرعت گشتاور در روش کنترل فرکانس
۱۴	شکل (۵-۱) : منحنی های V و T و P_m و I_s و ω_{SL} بر حسب a
۱۸	شکل (۶-۱) : مشخصه های سرعت گشتاور (خط پر) و مشخصه های سرعت جریان (خط چین) در موتور القایی رتور سیم بندی
۱۹	شکل (۷-۱) : مدار معادل موتور القایی با ولتاژ تزریق شده به رتور
۲۱	شکل (۸-۱) : جهت متغیرهای رتور در حالت های مختلف برای V ثابت و بار متغیر
۲۴	شکل (۹-۱) : نمودار قدرت موتور القایی با تغذیه رتور
۲۸	شکل (۱۰-۱) : کنترل سرعت با تزریق ولتاژ در رتور
۳۰	شکل (۱۱-۱) : بازیافت توان لغزش
۳۲	شکل (۱۲-۱) : تغییر قطب های استاتور
۳۴	شکل (۱۳-۱) : دیاگرام های برداری بیانگر روش امتداد یابی با میدان

فصل دوّم

شکل (۱-۲) : کار موتور القایی با منبع جریان ۳۸

شکل (۲-۲) : رابطه جریان استاتور و سرعت لغزش در اینورتر منبع جریان ۴۰

شکل (۳-۲) : منحنی های سرعت گشتاور در موتور القایی سه فاز با منبع جریان فرکانس متغیر. ۴۴

فصل سوم

شکل (۱-۳) : عملکرد موتور القایی با کاهش ولتاژ ۴۷

شکل (۲-۳) : مدار معادل موتور القایی فرکانس متغیر با احتساب تلفات هسته ۵۲

شکل (۳-۳) : کنترل بهینه محرکه های فرکانس متغیر ۵۴

شکل (۴-۳) : مدار معادل هارمونیکی K موتور القایی ۵۷

فصل چهارم

شکل (۱-۴) : کنترل کننده نیم موج سه فاز ۶۶

شکل (۲-۴) : مدار کنترل کننده تمام موج سه فاز ۶۷

شکل (۳-۴) : مدار کنترل کننده دو جهتی سه فاز با اتصال مثلث ۶۹

شکل (۴-۴) : منحنی های گشتاور سرعت چهار ناحیه ۷۰

شکل (۵-۴) : کنترل کننده چهار ناحیه ای ۷۱

شکل (۶-۴) : کنترل یک ناحیه ای ۷۲

شکل (۷-۴) : کنترل چهار ناحیه ای ۷۲

فصل پنجم :

شکل (۱-۵) : اینورتر منبع ولتاژ سه فاز	۷۷
شکل (۲-۵) : روش‌های کنترل ولتاژ در اینورتر شش پله	۸۰
شکل (۳-۵) : تغییر ولتاژ خروجی با استفاده از دو اینورتر	۸۱
شکل (۴-۵) : محرکه‌های اینورتری PWM	۸۲
شکل (۵-۵) : مدولاسیون مفرد عرض پالس	۸۳
شکل (۶-۵) : وضعیت هارمونیکها در مدولاسیون مفرد عرض پالس	۸۵
شکل (۷-۵) : مدولاسیون چندتایی عرض پالس	۸۶
شکل (۸-۵) : وضعیت هارمونیکها در مدولاسیون چندتایی عرض پالس	۸۷
شکل (۹-۵) : اصول مدولاسیون سینوسی عرض پالس	۸۸
شکل (۱۰-۵) : اینورتر سه فاز PWM	۸۸
شکل (۱۱-۵) : مقایسه موج‌های سینوسی و موج مثلثی	۸۹
شکل (۱۲-۵) : یک ساق اینورتر	۹۰
شکل (۱۳-۵) : مقایسه موج سینوسی مرجع یک فاز با موج مثلث	۹۱
شکل (۱۴-۵) : محاسبه دامنه اصلی	۹۳
شکل (۱۵-۵) : سیستم حلقه باز کنترل سرعت	۹۷
شکل (۱۶-۵) : سیستم حلقه بسته کنترل سرعت	۹۹
شکل (۱۷-۵) : اینورتر منبع جریان	۱۰۱

فصل ششم

- شکل (۱۸-۵) : منحنی جریان و ولتاژ فاز در اینورتر منبع جریان ۱۰۲
- شکل (۱۹-۵) : طرحهای مختلف منابع جریان ۱۰۴
- شکل (۲۰-۵) : مدولاسیون پهنای پالس برای اینورتر منبع جریان ۱۰۵
- شکل (۲۱-۵) : سیستم کنترل سرعت با اینورتر منبع جریان جهت کنترل سرعت لغزش ۱۰۶
- شکل (۲۲-۵) : سیستم کنترل دور با استفاده CSI با کنترل جریان ۱۰۷
- شکل (۱-۶) : شمای کلی ساختمان میکروکنترلر MCS - 51 ۱۱۰
- شکل (۲-۶) : مدار مولد پالس ساعت و Reset ۱۱۱
- شکل (۳-۶) : مدار راه انداز نمایشگر چهار رقمی ۱۱۳
- شکل (۴-۶) : مدار تغذیه قسمت فرمان ۱۱۳
- شکل (۵-۶) : اینورتر سه فاز با سوئیچهای MOSFET ۱۱۴
- شکل (۶-۶) : ساختمان MOSFET افزودنی ۱۱۵
- شکل (۷-۶) : مشخصه خروجی MOSFET افزودنی ۱۱۶
- شکل (۸-۶) : مدل پارازیتی MOSFET افزایشی و ساختمان داخلی آن بهمراه دیود داخلی ۱۱۶
- شکل (۹-۶) : مدل سوئیچینگ MOSFET ۱۱۷
- شکل (۱۰-۶) : شکل موجها و زمانهای سوئیچینگ ۱۱۷
- شکل (۱۱-۶) : مدار راه انداز MOSFET ها ۱۱۹
- شکل (۱۲-۶) : مدار راه انداز MOSFET همراه با حفاظت MOSFET های یک ساق اینورتر ۱۲۰

فصل هفتم

- شکل (۱-۷) : اینورتر سه فاز PWM ۱۲۶
- شکل (۲-۷) : تلاقي موج سينوسی و مثلثی بهمراه ولتاژ فاز ايجاد شده ۱۲۷
- شکل (۳-۷) : ولتاژ سه فاز متعادل در خروجي اينورتر ۱۲۸
- شکل (۴-۷) : ولتاژ خط به خط خروجي اينورتر ۱۲۹
- شکل (۵-۷) : ولتاژ فاز به ازاي $m_f = 26$ و تحليل فوريه آن ۱۳۲
- شکل (۶-۷) : ولتاژ فاز به ازاي $m_f = 40$ و تحليل فوريه آن ۱۳۳
- شکل (۷-۷) : ولتاژ خط به خط به ازاي $m_f = 26$ و تحليل فوريه آن ۱۳۴
- شکل (۸-۷) : ولتاژ خط به خط به ازاي $m_f = 40$ و تحليل فوريه آن ۱۳۵
- شکل (۹-۷) : ولتاژ فاز بدست آمده از شبيه سازي به ازاي $m_f = 9$ و تحليل فوريه آن ۱۳۶
- شکل (۱۰-۷) : ولتاژ فاز بدست آمده در عمل (آزمایشگاهی) به ازاي $m_f = 9$ و تحليل فوريه آن ۱۳۷
- شکل (۱۱-۷) : ولتاژ فاز بدست آمده از شبيه سازي به ازاي $m_f = 15$ و تحليل فوريه آن ۱۳۸
- شکل (۱۲-۷) : ولتاژ فاز بدست آمده در عمل (آزمایشگاهی) به ازاي $m_f = 15$ و تحليل فوريه آن ۱۳۹
- شکل (۱۳-۷) : ولتاژ خط به خط بدست آمده از شبيه سازي به ازاي $m_f = 9$ و تحليل فوريه آن ۱۴۰
- شکل (۱۴-۷) : ولتاژ خط به خط بدست آمده در عمل (آزمایشگاهی) به ازاي $m_f = 9$ و تحليل فوريه آن ۱۴۱
- شکل (۱۵-۷) : ولتاژ خط به خط بدست آمده از شبيه سازي به ازاي $m_f = 15$ و تحليل فوريه آن ۱۴۲
- شکل (۱۶-۷) : ولتاژ خط به خط بدست آمده در عمل (آزمایشگاهی) به ازاي $m_f = 15$ و تحليل فوريه آن ۱۴۳

- شکل (۱۷-۷) : ولتاژ فاز به ازای جدول PWM ۱۸۰ و ۳۶۰ ۱۴۴
- شکل (۱۸-۷ - a) : ولتاژ فاز خروجی اینورتر بدون اعمال زمان مرده ۱۴۵
- شکل (۱۸-۷ - b) : ولتاژ فاز خروجی اینورتر با اعمال زمان مرده ۱۴۵
- شکل (۱۹-۷) : منحنی سرعت رتور در حالت بی باری بر حسب زمان ۱۴۸
- شکل (۲۰-۷) : منحنی گشتاور الکتریکی در حالت بی باری بر حسب زمان ۱۴۹
- شکل (۲۱-۷) : جریان فاز استاتور، بدست آمده از نتایج شبیه سازی ۱۵۰
- شکل (۲۲-۷) : جریان فاز استاتور، بدست آمده در عمل (آزمایشگاهی) ۱۵۱